

УДК 532.529:534.2

ОТРАЖЕНИЕ АКУСТИЧЕСКИХ ВОЛН, ПАДАЮЩИХ ПОД ПРЯМЫМ УГЛОМ НА ГРАНИЦУ РАЗДЕЛА ДВУХ МНОГОФРАКЦИОННЫХ ГАЗОВЗВЕСЕЙ

© 2019 г. Д. А. Губайдуллин¹, Е. А. Терегулова¹ *, Д. Д. Губайдулина¹

¹Институт механики и машиностроения ФИЦ Казанский научный центр РАН, Казань, Россия

*E-mail: tereguлова@inbox.ru

Поступила в редакцию 22.06.2018 г.

После доработки 28.09.2018 г.

Принята к публикации 10.10.2018 г.

Изучены особенности отражения и преломления акустической волны, проходящей через границу двух многофракционных газовзвесей под прямым углом. Получены формулы для вычисления импеданса многофракционной газовзвеси, коэффициентов отражения и преломления. Построены зависимости модулей и аргументов коэффициента преломления и коэффициента отражения от безразмерной частоты.

DOI: 10.1134/S0040364419030049

ВВЕДЕНИЕ

Исследование акустических волн в дискретно-слоистых средах является актуальной задачей, что обусловлено широким распространением таких сред в природе и технологических процессах. С основными моделями и некоторыми результатами исследования акустических волн в многофазных средах можно ознакомиться в [1–12]. Проблеме изучения двухфазных течений с твердыми частицами, каплями и пузырями посвящены работы [13–15]. В [16–19] исследуется отражение и преломление акустических волн от границы раздела между чистым газом и смесью газа с различными включениями. Падение акустической волны под прямым углом на границу между чистым и запыленным воздухом изучалось в [16], под произвольным углом – в [17–19]. Установлено, что в случае падения волны на границу раздела со стороны парогазокапельной среды существует критический угол падения, при котором волна полностью отражается от границы. Также показано, что при определенном выборе объемного содержания включений и угла падения волны на границу раздела как со стороны газа, так и со стороны смеси в дисперсной системе наблюдается полное прохождение акустической волны через среду.

В данной работе изучаются особенности отражения и преломления акустической волны, падающей под прямым углом на границу раздела двух многофракционных газовзвесей.

ИМПЕДАНС МНОГОФРАКЦИОННОЙ ГАЗОВЗВЕСИ

При описании движения многофракционных газовзвесей методами механики сплошной среды принимаются справедливыми следующие допущения [1]:

– размеры включений в смеси многократно превышают молекулярно-кинетические размеры, т.е. включения содержат большое количество молекул;

– размеры включений во много раз меньше расстояний, на которых осредненные или макроскопические параметры смеси или фаз меняются существенно, т.е. много меньше характерных длин рассматриваемых волн (акустическая однородность);

– непосредственным взаимодействием и столкновением включений друг с другом и эффектами хаотического (в том числе броуновского) и внутреннего движения включений (вращения, деформации) можно пренебречь;

– отсутствуют процессы слипания (коагуляции), дробления и образования новых включений.

Предполагается также, что

– дисперсные включения являются твердыми (несжимаемыми и недеформируемыми) сферическими частицами;

– вязкость и теплопроводность проявляются лишь в процессе межфазного взаимодействия и не проявляются в макроскопических процессах переноса импульса и энергии;

– основными силами, действующими на частицу, являются силы Стокса и Бассэ;

– отсутствует массообмен между частицами и несущей средой;

– несущая среда – калорически совершенный газ;

– принята трехтемпературная схема теплообмена. Тепловые потоки извне $q_{1\Sigma}$ и изнутри $q_{2\Sigma}$ включения к его поверхности задаются соотношениями

$$q_{1\Sigma} = 2\pi r \lambda_1 \text{Nu}_1 (T_1' - T_\Sigma'), \quad \text{Nu}_1 = 2r \beta_1^T / \lambda_1,$$

$$q_{2\Sigma} = 2\pi r \lambda_2 \text{Nu}_2 (T_2' - T_\Sigma'), \quad \text{Nu}_2 = 2r \beta_2^T / \lambda_2,$$

где r – радиус частицы, T_1 – температура несущей фазы, T_Σ – температура в приповерхностном Σ -слое включения, T_2 – температура включений, Nu_1 и β_1^T – безразмерный (число Нуссельта) и размерный коэффициенты теплообмена несущей фазы с границей раздела частицы, Nu_2 и β_2^T – безразмерный (число Нуссельта) и размерный коэффициенты теплообмена частицы с границей раздела, λ – коэффициент теплопроводности.

В рамках принятых предположений для изучения распространения акустических волн в многофракционных газовзвесах используется модель многоскоростного континуума [1]. Линеаризованная система уравнений возмущенного движения многофракционной газовзвеси с твердыми частицами разных материалов и размеров в декартовой системе координат, относительно которой невозмущенная среда покоится, записывается в виде [10]

$$\frac{\partial \rho_1'}{\partial t} + \rho_{10} \frac{\partial v_1'}{\partial z} = 0, \quad \frac{\partial \rho_j'}{\partial t} + \rho_{j0} \frac{\partial v_j'}{\partial z} = 0 \quad (j = \overline{s1, sN}),$$

$$\frac{\partial v_1'}{\partial t} + \frac{1}{\rho_{10}} \frac{\partial p_1'}{\partial z} + \sum_{j \in \overline{s1, sN}} \frac{m_j}{\tau_{vj}} \left(v_1' - v_j' + \sqrt{\frac{\tau_{\mu 1j}}{\pi}} \times \int_{-\infty}^t \frac{\partial}{\partial \tau} (v_1' - v_j') \frac{d\tau}{\sqrt{t - \tau}} \right) = 0,$$

$$\frac{\partial v_j'}{\partial t} = \frac{1}{\tau_{vj}} \left(v_1' - v_j' + \sqrt{\frac{\tau_{\mu 1j}}{\pi}} \int_{-\infty}^t \frac{\partial}{\partial \tau} (v_1' - v_j') \frac{d\tau}{\sqrt{t - \tau}} \right)$$

$$(j = \overline{s1, sN}), \quad \frac{\partial T_1'}{\partial t} = \frac{1}{\rho_{10} c_{p1}} \frac{\partial p_1'}{\partial t} - \sum_{j \in \overline{s1, sN}} \text{Nu}_{1j} \frac{T_1' - T_{\Sigma j}'}{\tau_{T1j}},$$

$$\frac{\partial T_j'}{\partial t} = -\text{Nu}_{2j} \frac{T_j' - T_{\Sigma j}'}{\tau_{T2j}},$$

$$\frac{c_{p1}}{m_j} \text{Nu}_{1j} \frac{T_1' - T_{\Sigma j}'}{\tau_{T1j}} + c_j \text{Nu}_{2j} \frac{T_j' - T_{\Sigma j}'}{\tau_{T2j}} = 0 \quad (j = \overline{s1, sN}), \quad (1)$$

$$p_1' = \frac{C_1^2}{\gamma_1 \alpha_{10}} \rho_1' + \frac{p_0}{T_0} T_1',$$

$$\rho_{j0} = \alpha_{j0} \rho_{j0}^\circ, \quad \alpha_{j0} = \frac{4}{3} \pi r_j^3 n_{j0}, \quad (j = \overline{s1, sN}),$$

$$\alpha_{10} + \sum_{j \in \overline{s1, sN}} \alpha_{j0} = 1, \quad m = \sum_{j \in \overline{s1, sN}} m_j,$$

$$m_j = \frac{\rho_{j0}}{\rho_{10}}, \quad \tau_{\mu 1j} = \frac{\rho_{10} r_j^2}{\mu_1}, \quad \tau_{vj} = \frac{2 \rho_j^\circ r_j^2}{9 \mu_1} \quad (j = \overline{s1, sN}),$$

$$\tau_{T1j} = \frac{2 \alpha_{10}}{3 \alpha_{j0}} \tau_{\lambda 1j}, \quad \tau_{T2j} = \frac{2}{3} \tau_{\lambda 2j}, \quad \tau_{\lambda 1j} = \frac{\rho_{10} r_j^2 c_{p1}}{\lambda_1},$$

$$\tau_{\lambda 2j} = \frac{\rho_j^\circ r_j^2 c_j}{\lambda_j}, \quad m_j^\circ = \frac{\rho_{10}}{\rho_j^\circ} \quad (j = \overline{s1, sN}).$$

Переменные с индексом 1 относятся к несущей фазе, с индексом j ($j = \overline{s1, sN}$) – к частице j -го типа. Штрихи вверху используются для обозначения возмущения параметров, индекс 0 соответствует начальному невозмущенному состоянию, индекс Σ – к поверхности раздела. Здесь n_{j0} – число частиц j -го типа в единице объема, ρ – приведенная плотность, ρ° – истинная плотность, v – скорость, α – объемное содержание, p – давление, C_1 – скорость звука в чистом газе, c_p – теплоемкость газа при постоянном давлении, c_j – теплоемкость частиц j -го типа, m_j – массовое содержание частиц j -го типа, m – суммарное массовое содержание всех частиц, τ_T – время релаксации температур, τ_v – время релаксации скорости, μ_1 – коэффициент динамической вязкости несущей среды.

Дисперсионное соотношение, определяющее распространение акустических волн в многофракционных газовзвесах, получено в работе [10] и имеет вид

$$\left(\frac{C_1 K_*}{\omega} \right)^2 = V(\omega) D(\omega),$$

где

$$K_* = K + iK_{**}, \quad V(\omega) = 1 + \sum_{j \in \overline{s1, sN}} \frac{m_j}{1 - i\omega \tau_{vj}^*},$$

$$D(\omega) = 1 + (\gamma_1 - 1) \frac{\sum_{j \in \overline{s1, sN}} \frac{m_j \bar{c}_j}{1 - i\omega \tau_{Tj}^*}}{1 + \sum_{j \in \overline{s1, sN}} \frac{m_j \bar{c}_j}{1 - i\omega \tau_{Tj}^*}},$$

$$\bar{c}_j = \frac{c_j}{c_{p1}}, \quad \tau_{vj}^* = \tau_{vj} \left[1 + \frac{1-i}{\sqrt{2}} (\omega \tau_{\mu 1j})^{1/2} \right]^{-1},$$

$$\tau_{T1j}^* = \frac{1}{\text{Nu}_{1j}^*} \tau_{T1j}, \quad \tau_{T2j}^* = \frac{1}{\text{Nu}_{2j}^*} \tau_{T2j}.$$

Здесь K_* – комплексное волновое число. Числа Нуссельта $Nu_{1j}^*(\omega)$ и $Nu_{2j}^*(\omega)$ определяются из решения сферически-симметричной задачи о теплообмене сферической частицы с газом в монохроматической волне и имеют вид [3]

$$Nu_{1j}^* = 2(1 + z_{1j}), \quad Nu_{2j}^* = \frac{2z_{2j}^2(\text{th}z_{2j} - z_{2j})}{3z_{2j} - (3 - z_{2j}^2)\text{th}z_{2j}},$$

где $z_{1j} = \frac{1-i}{\sqrt{2}}(\omega\tau_{\lambda 1j})^{1/2}$, $z_{2j} = \frac{1-i}{\sqrt{2}}(\omega\tau_{\lambda 2j})^{1/2}$.

Для монохроматической волны, удовлетворяющей уравнению (1), справедливо соотношение

$$v_1'(t, z) = \frac{1}{i\omega\rho_{10}V(\omega)} \frac{\partial p'}{\partial z}.$$

Импеданс (волновое сопротивление) определяется следующим образом:

$$Z = \frac{p'(t, z)}{v_1'(t, z)}.$$

Следовательно, при распространении звуковой волны в однородном пространстве импеданс имеет вид

$$Z(\omega) = \rho_{10}V(\omega) \frac{\omega}{K_*}.$$

Импеданс $Z(\omega)$ зависит от частоты ω и является комплексной величиной. Его можно переписать следующим образом:

$$Z(\omega) = \rho_{10}C_p(\omega) \frac{V(\omega)}{1 + i \frac{1}{2\pi} \sigma(\omega)},$$

$$C_p = \frac{\omega}{K}, \quad \sigma = 2\pi \frac{K_{**}}{K},$$

где C_p – фазовая скорость звука, σ – декремент затухания на длине волны.

Для чистого газа $C_p(\omega) = C_1$, $V(\omega) \equiv 1$, $\sigma(\omega) \equiv 0$, тогда $Z(\omega) = \rho_{10}C_1$.

ГРАНИЧНЫЕ УСЛОВИЯ

Пусть на границу раздела $z = 0$ двух многофракционных газовзвесей падает акустическая волна под прямым углом (рис. 1). Индекс f относится к падающей волне, t – к прошедшей волне, r – к отраженной волне, 1 – к среде, из которой падает волна, 2 – к среде, в которую проходит волна.

Давление и скорость имеют вид

– в падающей волне

$$p_f(t, z) = A_2 \exp[i(-K_{*2}z - \omega t)],$$

$$v_f(t, z) = -\frac{K_{*2}}{\omega\rho_{20}V_2(\omega)} p_f(t, z);$$

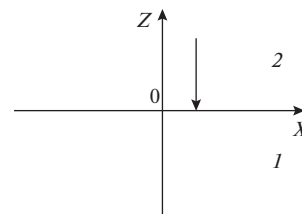


Рис. 1. Падение акустической волны на границу раздела двух сред.

– в отраженной волне

$$p_r(t, z) = B_2 \exp[i(K_{*2}z - \omega t)],$$

$$v_r(t, z) = \frac{K_{*2}}{\omega\rho_{20}V_2(\omega)} p_r(t, z);$$

– в прошедшей волне

$$p_t(t, z) = A_1 \exp[i(-K_{*1}z - \omega t)],$$

$$v_t(t, z) = -\frac{K_{*1}}{\omega\rho_{10}V_1(\omega)} p_t(t, z).$$

На границе раздела давление и нормальная составляющая скорости непрерывны [20]:

$$\begin{cases} p_f(t, 0) + p_r(t, 0) = p_t(t, 0), \\ v_f(t, 0) + v_r(t, 0) = v_t(t, 0). \end{cases} \quad (2)$$

Далее граничные условия (2) переписываются в эквивалентной форме [21]

$$\begin{cases} p_f(t, 0) + p_r(t, 0) = p_t(t, 0), \\ \tilde{Z}_2(t, 0) = Z_1, \end{cases}$$

где $\tilde{Z}_2(t, z) = -\frac{p_f(t, 0) + p_r(t, 0)}{v_f(t, 0) + v_r(t, 0)}$ – импеданс сум-

марного звукового поля в верхней полуплоскости. Второе условие означает непрерывность импеданса на границе раздела. Откуда получаем выражения для коэффициента отражения и коэффициента преломления

$$R = \frac{Z_1 - Z_2}{Z_1 + Z_2}, \quad W = \frac{2Z_1}{Z_1 + Z_2}. \quad (3)$$

Поскольку Z_1 и Z_2 являются комплексными величинами, зависящими от ω , то и коэффициенты отражения (R) и преломления (W) – комплексные величины, зависящие от ω .

При $Z_1 = Z_2$ коэффициент отражения $R = 0$, а коэффициент преломления $W = 1$, т.е. происходит полное прохождение акустической волны через границу сред. Условие $Z_1 = Z_2$ означает, что

$$\rho_{10}C_{p1}(\omega) \frac{V_1(\omega)}{1 + i \frac{1}{2\pi} \sigma_1(\omega)} = \rho_{20}C_{p2}(\omega) \frac{V_2(\omega)}{1 + i \frac{1}{2\pi} \sigma_2(\omega)}.$$

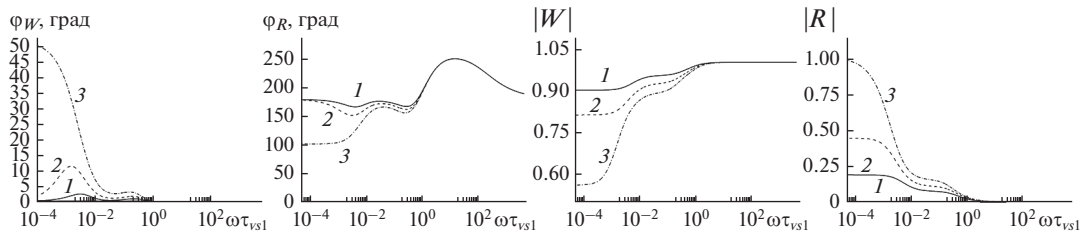


Рис. 2. Зависимости модулей и аргументов коэффициента отражения ($|R|, \varphi_R$) и коэффициента преломления ($|W|, \varphi_W$) от безразмерной частоты $\omega\tau_{vs1}$ при падении акустической волны под прямым углом со стороны воздуха на границу двухфракционной смеси воздуха с частицами пороха и бериллия при разном массовом содержании частиц.

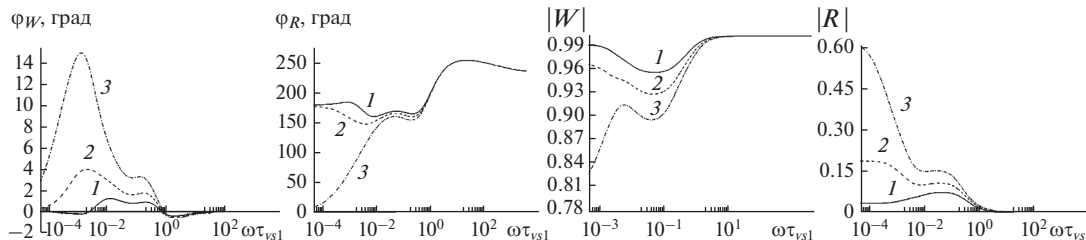


Рис. 3. Зависимости модулей и аргументов коэффициента отражения ($|R|, \varphi_R$) и коэффициента преломления ($|W|, \varphi_W$) от безразмерной частоты $\omega\tau_{vs1}$ при падении акустической волны под прямым углом со стороны монодисперсной смеси воздуха с частицами пороха на границу двухфракционной смеси воздуха с частицами пороха и бериллия при разном массовом содержании частиц.

При $\omega \rightarrow 0$

$$R = \frac{\rho_{10}C_{e1} - \rho_{20}C_{e2}}{\rho_{10}C_{e1} + \rho_{20}C_{e2}}, \quad W = \frac{2\rho_{10}C_{e1}}{\rho_{10}C_{e1} + \rho_{20}C_{e2}},$$

где C_{ei} ($i = 1, 2$) – равновесная скорость звука, вычисляемая по формулам [10]

$$C_{ei} = C_i \left(\frac{\gamma_{ei}}{M_i \gamma_i} \right)^{1/2}, \quad M_i = 1 + \sum_{j \in s1, sN_i} m_{ij},$$

$$\gamma_{ei} = \frac{1 - \sum_{j \in s1, sN_i} \bar{c}_{ij} m_{ij}}{\gamma_i - \sum_{j \in s1, sN_i} \bar{c}_{ij} m_{ij}}, \quad \bar{c}_{ij} = \frac{c_{ij}}{c_{pi}}, \quad (i = 1, 2).$$

При $\omega \rightarrow \infty$

$$R = \frac{\rho_{10}C_1 - \rho_{20}C_2}{\rho_{10}C_1 + \rho_{20}C_2}, \quad W = \frac{2\rho_{10}C_1}{\rho_{10}C_1 + \rho_{20}C_2}.$$

где C_i ($i = 1, 2$) – скорость звука в чистом газе.

РЕЗУЛЬТАТЫ

В качестве примера рассмотрены особенности отражения и преломления акустических волн, падающих под прямым углом на границу раздела между следующими средами:

- 1) воздухом и двухфракционной смесью воздуха с частицами пороха и бериллия;
- 2) монодисперсной смесью воздуха с частицами пороха и двухфракционной смесью воздуха с частицами пороха и бериллия;

3) гелием и двухфракционной смесью воздуха с частицами пороха и бериллия;

4) монодисперсной смесью гелия с частицами пороха и двухфракционной смесью воздуха с частицами пороха и бериллия;

5) двухфракционной смесью гелия с частицами пороха и бериллия и двухфракционной смесью воздуха с частицами пороха и бериллия.

На рис. 2–6 построены зависимости модулей и аргументов коэффициентов отражения и преломления от безразмерной частоты $\omega\tau_{vs1}$ (кривые 1 – $m = 0.3$, 2 – 0.4, 3 – 0.5). Расчеты выполнены с помощью формул (3) при следующих теплофизических параметрах: для воздуха – $\rho_{10}^{\circ} = 1.19$ кг/м³, $C_1 = 343$ м/с, $c_{p1} = 1007$ м²/с² К, $\lambda_1 = 0.0258$ кг м/с³ К, $\mu_1 = 1.81 \times 10^{-5}$ кг/м с, $\gamma_1 = 1.4$; для гелия – $\rho_{10}^{\circ} = 0.164$ кг/м³, $C_1 = 1005$ м/с, $c_{p1} = 5190$ м²/с² К, $\lambda_1 = 0.149$ кг м/с³ К, $\mu_1 = 1.94 \times 10^{-5}$ кг/м с, $\gamma_1 = 1.67$; для частиц пороха – $r_{s1} = 10^{-4}$ м, $\rho_{s1} = 1780$ кг/м³, $c_{s1} = 1460$ м²/с² К, $\lambda_{s1} = 0.75$ кг м/с³ К; частиц бериллия – $r_{s2} = 10^{-5}$ м, $\rho_{s2} = 1840$ кг/м³, $c_{s2} = 1884$ м²/с² К, $\lambda_{s2} = 201$ кг м/с³ К; массовые содержания частиц пороха и бериллия в двухфракционной газозвеси равны между собой.

Из рис. 2, 3 видно, что коэффициенты отражения и преломления монотонно зависят от массо-

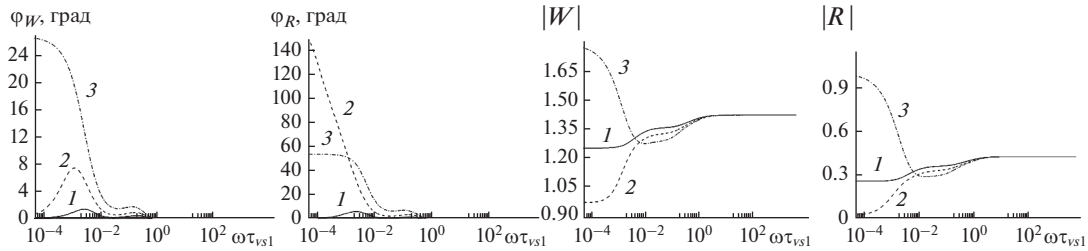


Рис. 4. Зависимости модулей и аргументов коэффициента отражения ($|R|$, φ_R) и коэффициента преломления ($|W|$, φ_W) от безразмерной частоты $\omega\tau_{vs1}$ при падении акустической волны под прямым углом со стороны гелия на границу двухфракционной смеси воздуха с частицами пороха и бериллия при разном массовом содержании частиц.

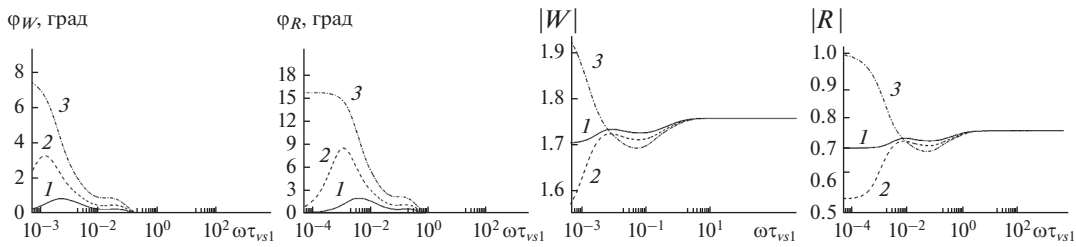


Рис. 5. Зависимости модулей и аргументов коэффициента отражения ($|R|$, φ_R) и коэффициента преломления ($|W|$, φ_W) от безразмерной частоты $\omega\tau_{vs1}$ при падении акустической волны под прямым углом со стороны монодисперсной смеси гелия с частицами пороха на границу двухфракционной смеси воздуха с частицами пороха и бериллия при разном массовом содержании частиц.

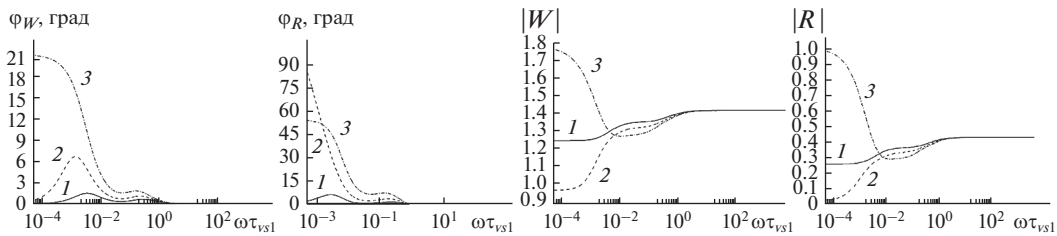


Рис. 6. Зависимости модулей и аргументов коэффициента отражения ($|R|$, φ_R) и коэффициента преломления ($|W|$, φ_W) от безразмерной частоты $\omega\tau_{vs1}$ при падении акустической волны под прямым углом со стороны двухфракционной смеси гелия с частицами пороха и бериллия на границу двухфракционной смеси воздуха с частицами пороха и бериллия при разном массовом содержании частиц.

вого содержания. При стремлении $\omega \rightarrow \infty$ коэффициент отражения $R \approx 0$, а коэффициент прохождения $W \approx 1$, т.е. акустическая волна проходит практически полностью через границу раздела. Это происходит потому, что при $\omega \rightarrow \infty$ скорость звука в монодисперсной газовой смеси и многофракционной газовой смеси стремится к скорости звука в чистом газе (для рассмотренного примера — в воздухе).

Из рис. 4–6 видно, что коэффициенты отражения и преломления немонотонно зависят от массового содержания. При $\omega \rightarrow \infty$ коэффициент отражения $R \neq 0$, а коэффициент прохождения $W \neq 1$, т.е. существует отражение акустической волны от границы раздела двух сред.

ЗАКЛЮЧЕНИЕ

В работе изучены особенности отражения и преломления акустической волны, проходящей через границу двух многофракционных газовых смесей под прямым углом. Построены зависимости модулей коэффициентов отражения и преломления от безразмерной частоты при разных массовых содержаниях включений.

Установлена монотонная зависимость коэффициентов отражения и преломления от массового содержания частиц при падении акустической волны под прямым углом на границу раздела чистого газа и многофракционной газовой смеси, на границу раздела монодисперсной смеси газа с твердыми частицами и многофракционной газовой смеси при условии, что несущие среды — один и тот же газ.

Если же несущими средами являются газы с разными теплофизическими свойствами, то коэффициенты отражения и преломления немонотонно зависят от массового содержания частиц при падении акустической волны под прямым углом на границу раздела чистого газа и многофракционной газозвеси, на границу раздела монодисперсной смеси газа с твердыми частицами и многофракционной газозвеси, а также на границу раздела двух многофракционных газозвесей.

Работа выполнена при финансовом содействии Российского научного фонда (проект № 15-11-10016).

СПИСОК ЛИТЕРАТУРЫ

1. *Нигматуллин Р.И.* Основы механики гетерогенных сред. М.: Наука, 1978. 336 с.
2. *Temkin S.* Suspension Acoustics: An Introduction to the Physics of Suspension. Cambridge: Univ. Press, 2005. 398 p.
3. *Губайдуллин Д.А.* Динамика двухфазных парогазо-капельных сред. Казань: Изд-во Казан. матем. об-ва, 1998. 153 с.
4. *Нигматуллин Р.И., Ивандаев А.И., Губайдуллин Д.А.* Эффект немонотонной зависимости диссипации звука от концентрации капель в акустике газозвесей // ДАН. 1991. Т. 316. № 3. С. 601.
5. *Губайдуллин Д.А., Ивандаев А.И.* Влияние фазовых превращений на распространение звука в туманах. Сопоставление теории с экспериментом // ПМТФ. 1990. № 6. С. 27.
6. *Губайдуллин Д.А., Ивандаев А.И.* Распространение акустических возмущений в полидисперсных туманах // ТВТ. 1992. Т. 30. № 5. С. 935.
7. *Гумеров Н.А.* Длинные волны конечной амплитуды в полидисперсных газозвесах // ПМТФ. 1990. № 4. С. 157.
8. *Губайдуллин Д.А., Никифоров А.А., Уткина Е.А.* Акустические волны в двухфракционных смесях газа с паром, каплями и твердыми частицами разных материалов и размеров при наличии фазовых превращений // Изв. РАН. МЖГ. 2011. № 1. С. 95.
9. *Губайдуллин Д.А., Никифоров А.А., Уткина Е.А.* Влияние фазовых превращений на распространение акустических волн в двухфракционных смесях газа с паром, каплями и твердыми частицами разных материалов и размеров // ТВТ. 2011. Т. 49. № 6. С. 942.
10. *Губайдуллин Д.А., Терезулова Е.А., Губайдуллина Д.Д.* Распространение акустических волн в многофракционных газозвесах // ТВТ. 2015. Т. 53. № 5. С. 942.
11. *Cole J.E., Dobbins R.A.* Measurements of Attenuation and Dispersion of Sound by a Warm Air Fog // J. Atmospheric Sci. 1971. V. 28. № 2. P. 202.
12. *Davidson G.A.* Sound Propagation in Fogs // J. Atmospheric Sci. 1975. V. 32. № 11. P. 2201.
13. *Вараксин А.Ю.* Гидрогазодинамика и теплофизика двухфазных потоков: проблемы и достижения // ТВТ. 2013. Т. 51. № 3. С. 421.
14. *Вараксин А.Ю.* Кластеризация частиц в турбулентных и вихревых двухфазных потоках // ТВТ. 2014. Т. 52. № 5. С. 777.
15. *Вараксин А.Ю.* Влияние частиц на турбулентность несущего потока газа // ТВТ. 2015. Т. 53. № 3. С. 441.
16. *Ishii R., Matsuhisa H.* Steady Reflection, Absorption and Transmission of Small Disturbances by a Screen of Dusty Gas // J. Fluid Mech. 1983. V. 130. P. 259.
17. *Шагапов В.Ш., Саранулова В.В.* Особенности преломления звука в атмосфере при тумане // Изв. РАН. Физика атмосферы и океана. 2014. Т. 50. № 6. С. 683.
18. *Шагапов В.Ш., Саранулова В.В.* Особенности отражения и преломления акустических волн на границе раздела между газом и дисперсной системой // ПМТФ. 2015. Т. 56. № 5. С. 119.
19. *Губайдуллин Д.А., Федоров Ю.В.* Особенности отражения акустических волн от границы или слоя двухфазной среды // Акуст. журн. 2018. Т. 64. № 2. С. 162.
20. *Ландау Л.Д.* Теоретическая физика. Т. VI. Гидродинамика. М.: Наука, 1986. 736 с.
21. *Бреховских Л.М.* Волны в слоистых средах. М.: Наука, 1973. 343 с.